

Chapitre 8

Intégrales multiples

8.1 Intégrales doubles

8.1.1 Définition et interprétation géométrique

Soit D un domaine fermé de \mathbb{R}^2 et $f(x, y)$ une fonction continue sur D . On a envie de définir l'intégrale double

$$\iint_D f(x, y) \, dx dy$$

de telle manière qu'elle soit égale au volume compris entre la base D et la surface

$$S = \{(x, y, f(x, y)) \mid (x, y) \in D\}.$$

Définition analytique

On décompose D de façon quelconque en sous-domaines disjoints D_1, D_2, \dots, D_n . Soit ΔA_i l'aire de chaque D_i .

On choisit arbitrairement un point $(\xi_i, \eta_i) \in D_i$ et on calcule

$$\begin{aligned} \Delta V_i &= f(\xi_i, \eta_i) \cdot \Delta A_i = \text{volume du prisme de base } D_i \text{ et de hauteur } z_i = f(\xi_i, \eta_i) \\ &\approx \text{volume limité par } D_i \text{ et la surface } S_i \end{aligned}$$

On pose alors

$$V_n = \sum_{i=1}^n \Delta V_i = \sum_{i=1}^n f(\xi_i, \eta_i) \cdot \Delta A_i$$

Posons $\delta = \max_i d_i$ avec $d_i =$ diamètre du plus petit cercle contenant D_i . Alors, on définit

$$\iint_D f \, dA = \lim_{\substack{n \rightarrow \infty \\ \delta \rightarrow 0}} V_n = \lim_{\substack{n \rightarrow \infty \\ \delta \rightarrow 0}} \sum_{i=1}^n f(\xi_i, \eta_i) \cdot \Delta A_i$$

et ceci indépendamment du choix des D_i , des ξ_i et des η_i .

On note aussi $\iint_D f(x, y) \, dx dy$ au lieu de $\iint_D f \, dA$.

L'élément $dA = dx dy$ est l'élément différentiel de surface.

8.1.2 Propriétés de l'intégrale double

En utilisant les propriétés des limites, on démontre que :

1. $\iint_D (f + g) \, dA = \iint_D f \, dA + \iint_D g \, dA$
2. $\iint_D \alpha \cdot f \, dA = \alpha \cdot \iint_D f \, dA$
3. Si $D = D' \cup D''$ et $D' \cap D'' = \emptyset$ alors

$$\iint_D f \, dA = \iint_{D'} f \, dA + \iint_{D''} f \, dA$$

4. si $f \leq g$ sur D alors $\iint_D f \, dA \leq \iint_D g \, dA$.

5. si $f(x, y) = 1$ alors $\iint_D 1 \cdot dA = \text{Aire}(D)$

8.1.3 Calcul effectif

Sur un rectangle

Supposons que D soit un rectangle : $D = \{(x, y) \mid a \leq x \leq b, c \leq y \leq d\}$.

Soit $A(x)$ est l'aire de la section $PP'Q'Q$ avec x fixé $\in [a, b]$.

Alors

$$I = \iint_D f(x, y) \, dx dy = \int_a^b A(x) \, dx$$

Or pour $x = x_0$ fixé, on a $A(x_0) = \int_c^d f(x_0, y) \, dy$. Donc finalement

$$I = \int_a^b \left(\int_c^d f(x, y) \, dy \right) dx.$$

On intègre donc d'abord selon y en considérant x comme un paramètre et ensuite selon x . Mais on peut faire l'inverse. On obtient donc aussi

$$I = \int_c^d \left(\underbrace{\int_a^b f(x, y) \, dx}_{=B(y)} \right) dy.$$

Cas particulier : si

$$f(x, y) = p(x)q(y)$$

alors

$$A(x) = \int_c^d p(x)q(y) \, dy = p(x) \cdot \int_c^d q(y) \, dy$$

et alors

$$I = \int_a^b \left(p(x) \int_c^d q(y) \, dy \right) dx = \int_a^b p(x) \, dx \cdot \int_c^d q(y) \, dy.$$

L'intégrale double, est dans ce cas le produit de 2 intégrales simples.

Cas général

Supposons que l'on peut trouver deux fonctions $\varphi(x)$ et $\psi(x)$ définie entre x_1 et x_2 telles que

$$D = \{(x, y) \in \mathbb{R}^2 \mid x \in [x_1; x_2] \varphi(x) \leq y \leq \psi(x)\}.$$

L'aire de la section située dans le plan vertical $x = x_0$ est alors égale à

$$A(x_0) = \int_{\varphi(x_0)}^{\psi(x_0)} f(x_0, y) \, dy$$

et alors

$$\iint_D f(x, y) \, dx dy = \int_{x_1}^{x_2} \left(\int_{\varphi(x)}^{\psi(x)} f(x, y) \, dy \right) dx.$$

De façon analogue, on peut d'abord intégrer selon la variable x qui varie entre $\theta(y)$ et $\sigma(y)$ et ensuite selon y . On obtient

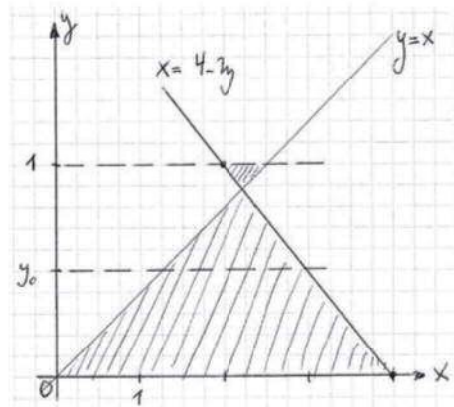
$$\iint_D f(x, y) \, dx dy = \int_{y_1}^{y_2} \left(\int_{\theta(y)}^{\sigma(y)} f(x, y) \, dx \right) dy.$$

Remarque : En général, il faut décomposer D en plusieurs sous-domaines pour trouver $\phi(x)$ et $\psi(x)$.

Remarque : Le choix de l'ordre d'intégration ne change rien en théorie mais, en pratique, il est important. Un bon choix peut conduire à un petit nombre d'intégrales alors qu'un mauvais choix peut même amener à une intégrale impossible à calculer.

Exemples 8.1.

(1) Considérons la fonction $f(x, y) = x + y$ sur le domaine D ci-contre



Prenons $y = y_0$ fixé \iff on intègre d'abord selon x . Alors

$$A(y_0) = \int_{x=y_0}^{x=4-2y_0} (x + y_0) \, dx = \left(\frac{x^2}{2} + xy_0 \right) \Big|_{x=y_0}^{x=4-2y_0} = \dots = 8 - 4y_0 - \frac{3}{2}y_0^2.$$

Donc

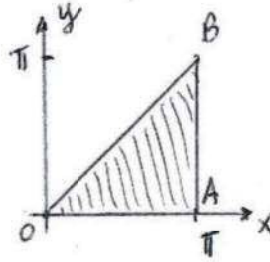
$$\iint_D f(x, y) \, dA = \int_{y=0}^{y=1} \left(8 - 4y - \frac{3}{2}y^2 \right) dy = \left(8y - 2y^2 - \frac{1}{2}y^3 \right) \Big|_0^1 = \frac{11}{2}.$$

Si on intègre d'abord selon y et ensuite selon x , il faut calculer 3 intégrales :

$$\int_{x=0}^{x=1} \dots dA + \int_{x=1}^{x=2} \dots dA + \int_{x=2}^{x=4} \dots dA.$$

(2) soit $f(x, y) = \frac{y}{x^2} \cdot \sin^2 x$ sur le domaine
 $D =$ triangle de sommets $O(0, 0)$, $A(\pi, 0)$ et $B(\pi, \pi)$.

Domaine D :



Intégration d'abord selon y :

$$\begin{aligned} \iint_D f(x, y) \, dx dy &= \int_{x=0}^{x=\pi} \left(\int_{y=0}^{y=x} \frac{y}{x^2} \sin^2 x \, dy \right) dx = \int_0^\pi \frac{1}{x^2} \sin^2 x \cdot \frac{y^2}{2} \Big|_{y=0}^{y=x} dx \\ &= \frac{1}{2} \int_0^\pi \sin^2 x \, dx = \frac{\pi}{4}. \end{aligned}$$

Intégration d'abord selon x :

$$I = \int_{y=0}^\pi \left(\int_{x=y}^{x=\pi} y \cdot \frac{\sin^2 x}{x^2} \, dx \right) dy = \int_{y=0}^\pi y \cdot \left(\int_{x=y}^{x=\pi} \frac{\sin^2 x}{x^2} \, dx \right) dy = \dots$$

Impossible d'intégrer $\frac{\sin^2 x}{x^2}$.

(3) $f(x, y) = 2xy$ sur le domaine $D =$ quart de cercle de rayon 1 et de centre $O(0, 0)$.

$$\begin{aligned} \iint_D 2xy \, dA &= \int_0^1 \int_{y=0}^{y=\sqrt{1-x^2}} 2xy \, dy \, dx = \int_0^1 x \cdot [y^2]_0^{\sqrt{1-x^2}} \, dx = \int_0^1 x(1-x^2) \, dx \\ &= \left[\frac{x^2}{2} - \frac{x^4}{4} \right]_0^1 = \frac{1}{4}. \end{aligned}$$

8.1.4 Applications

Centre de masse

(A) Corps ponctuels

$$\vec{OG} = \frac{1}{M} \sum_{i=1}^n m_i \cdot \vec{OP}_i$$

avec $M = \sum_{i=1}^n m_i =$ masse totale.

Le point G ne dépend pas de l'origine O choisie. En effet si on prend O' , on obtient

$$\begin{aligned} \vec{O'G} &= \frac{1}{M} \sum_{i=1}^n m_i \cdot \vec{O'P}_i = \frac{1}{M} \sum_{i=1}^n m_i \cdot (\vec{O'O} + \vec{OP}_i) = \frac{1}{M} \sum_{i=1}^n m_i \cdot \vec{O'O} + \frac{1}{M} \sum_{i=1}^n m_i \cdot \vec{OP}_i \\ &= \vec{O'O} + \vec{OG}. \end{aligned}$$

(B) Cas général : soit D un domaine fini de masse spécifique $\mu(x, y)$.

Alors la masse m_i d'un très petit sous-domaine D_i est environ égale à

$$m_i = \mu(x, y) \cdot \Delta A_i$$

avec $\Delta A_i = \text{Aire}(D_i)$.

Masse totale :

$$M_n = \sum_{i=1}^n m_i = \sum_{i=1}^n \mu(\xi_i, \eta_i) \cdot \Delta A_i \xrightarrow{n \rightarrow \infty} M = \iint_D \mu(x, y) dA.$$

Pour le centre de masse, chaque D_i donne une contribution de

$$m_i \cdot \overrightarrow{OP_i} = \mu(P_i) \cdot \Delta A_i \cdot \overrightarrow{OP_i}.$$

En passant à la limite, on obtient

$$\overrightarrow{OG} = \frac{1}{M} \iint_D \mu(x, y) \cdot \overrightarrow{OP} dx dy \quad \text{avec } \overrightarrow{OP} = \begin{pmatrix} x \\ y \end{pmatrix}$$

En choisissant un système d'axes, et en notant (x_G, y_G) les coordonnées de G , on obtient

$$\boxed{x_G = \frac{1}{M} \iint_D x \cdot \mu(x, y) dx dy} \quad \text{et} \quad \boxed{y_G = \frac{1}{M} \iint_D y \cdot \mu(x, y) dx dy.} \quad (8.1)$$

Exemples 8.2.

1. Centre de masse d'un demi disque homogène ($\mu \equiv 1$) de rayon R .

Masse totale :

$$M = \iint_D 1 dx dy = A = \frac{\pi R^2}{2}.$$

Centre de masse : par symétrie, on a $x_G = 0$.

Pour y_G la formule 8.1 donne

$$\begin{aligned}
 y_G &= \frac{1}{M} \iint_D y \, dx dy = \frac{2}{\pi R^2} \cdot \int_{x=-R}^R \int_{y=0}^{\sqrt{R^2-x^2}} y \, dy dx \\
 &= \frac{2}{\pi R^2} \cdot \int_{x=-R}^R \left[\frac{y^2}{2} \right]_0^{\sqrt{R^2-x^2}} dx \\
 &= \frac{2}{\pi R^2} \cdot \int_{x=-R}^R \frac{1}{2} (R^2 - x^2) dx \\
 &= \frac{1}{\pi R^2} \cdot \left[R^2 x - \frac{x^3}{3} \right]_{-R}^R \\
 &= \frac{1}{\pi R^2} \cdot \left(2R^3 - \frac{2}{3}R^3 \right) = \frac{4}{3\pi} R.
 \end{aligned}$$

2. Centre de masse d'un triangle homogène ($\mu \equiv 1$).

A l'aide d'une translation et d'une rotation, on peut toujours se ramener au cas suivant :

$$A(0,0), \quad B(x_B, y_B) \quad \text{et} \quad C(x_B, y_C).$$

Equation de la droite AB : $y = mx + h = \frac{y_B}{x_B} \cdot x$

Droite AC : $y = mx + h = \frac{y_C}{x_B} \cdot x$

Masse du triangle = aire du triangle = $A = \frac{1}{2} x_B \cdot (y_C - y_B)$

Alors

$$\begin{aligned}
 \iint_{\Delta} x \, dx dy &= \int_{x=0}^{x_B} \left(\int_{\frac{y_B}{x_B} \cdot x}^{\frac{y_C}{x_B} \cdot x} x \, dy \right) dx = \int_{x=0}^{x_B} x \cdot \left(\frac{y_C}{x_B} \cdot x - \frac{y_B}{x_B} \cdot x \right) dx \\
 &= \int_{x=0}^{x_B} \frac{y_C - y_B}{x_B} x^2 dx = \frac{1}{3} \frac{y_C - y_B}{x_B} x_B^3 \\
 &= \frac{1}{3} x_B^2 (y_C - y_B)
 \end{aligned}$$

et donc

$$x_G = \frac{1}{M} \iint_{\Delta} x \, dx dy = \frac{2}{x_B(y_C - y_B)} \cdot \frac{1}{3} x_B^2 (y_C - y_B) = \frac{2}{3} x_B = \frac{1}{3} (x_A + x_B + x_C).$$

De même

$$\begin{aligned}
 \iint_{\Delta} y \, dx dy &= \int_{x=0}^{x_B} \left(\int_{\frac{y_B}{x_B} \cdot x}^{\frac{y_C}{x_B} \cdot x} y \, dy \right) dx = \int_{x=0}^{x_B} \frac{1}{2} \left(\frac{y_C^2}{x_B^2} - \frac{y_B^2}{x_B^2} \right) x^2 dx \\
 &= \frac{1}{6} \left(\frac{y_C^2}{x_B^2} - \frac{y_B^2}{x_B^2} \right) \cdot x_B^3 = \frac{1}{6} x_B (y_C^2 - y_B^2).
 \end{aligned}$$

et donc

$$y_G = \frac{1}{A} \iint_{\Delta} y \, dx dy = \frac{2}{x_B(y_C - y_B)} \cdot \frac{1}{6} x_B(y_C^2 - y_B^2) = \frac{1}{3}(y_B + y_C) = \frac{1}{3}(y_A + y_B + y_C).$$

On a donc montré que dans un triangle ABC :

$$\vec{OG} = \frac{1}{3} (\vec{OA} + \vec{OB} + \vec{OC}).$$

Propriété du centre de masse : Soit $D = D_1 \cup D_2 \cup \dots \cup D_n$ et G_i le centre de masse de D_i et m_i la masse de D_i . Alors G = barycentre des points G_i affectés des masses m_i :

$$\vec{OG} = \frac{1}{M} (m_1 \cdot \vec{OG}_1 + m_2 \cdot \vec{OG}_2 + \dots + m_n \cdot \vec{OG}_n)$$

Théorème 8.3 (Théorème de Guldin). *Soit D un domaine homogène du plan dont l'aire vaut A . Soit $G(x_G, y_G)$ le centre de gravité de D . Soit V le volume du corps de révolution engendré par rotation de D autour de l'axe Ox . Alors*

$$V = 2\pi y_G \cdot A$$

$V = (\text{circonférence du cercle décrit par } G) \times (\text{aire de } D)$

DÉMONSTRATION : On a vu au chapitre 5 que $V = \pi \int_a^b [g^2(x) - f^2(x)] \, dx$. Donc

$$\begin{aligned} y_G &= \frac{1}{A} \iint_D y \, dx dy = \frac{1}{A} \int_a^b \left(\int_{f(x)}^{g(x)} y \, dy \right) dx = \frac{1}{A} \int_a^b \left[\frac{1}{2} y^2 \right]_{f(x)}^{g(x)} dx \\ &= \frac{1}{2A} \int_a^b [g^2(x) - f^2(x)] \, dx = \frac{1}{2A} \cdot \frac{V}{\pi}. \end{aligned}$$

Moment d'inertie

Corps ponctuel de masse m tournant à une distance r autour d'un axe. Alors

$$J = mr^2.$$

Corps étendu D de masse spécifique $\mu(x, y)$ (= masse par unité de surface).
Tournant autour de l'axe Ox :

$$J_x = \iint_D y^2 \mu(x, y) \, dx dy.$$

Tournant autour de l'axe Oy :

$$J_y = \iint_D x^2 \mu(x, y) \, dx dy.$$

Théorème 8.4 (Théorème de Steiner). Notons J_y^G le moment d'inertie par rapport à un axe parallèle à Oy et passant par le centre de gravité $G(x_G, y_G)$.

Alors

$$J_y = J_y^G + Mx_G^2$$

où $M = \iint_D \mu(x, y) \, dx dy$ est la masse totale

DÉMONSTRATION : On a

$$\begin{aligned} J_y^G &= \iint_D (x - x_G)^2 \mu(x, y) \, dx dy = \iint_D [x^2 - 2xx_G + x_G^2] \cdot \mu(x, y) \, dx dy \\ &= \iint_D x^2 \mu(x, y) \, dx dy - 2x_G \iint_D x \mu(x, y) \, dx dy + x_G^2 \iint_D \mu(x, y) \, dx dy \\ &= J_y - 2x_G \cdot Mx_G + Mx_G^2 = J_y - Mx_G^2 \end{aligned}$$

□

8.1.5 Intégration sur tout \mathbb{R}^2

Soit $f(x, y)$ une fonction continue sur \mathbb{R}^2 . Comment définir $\iint_{\mathbb{R}^2} f(x, y) \, dx dy$?

(A) Cas d'une fonction positive : soit $f(x, y) \geq 0$ pour tout $x, y \in \mathbb{R}$.

Soit $\{D_n\}$ une suite de sous-ensembles bornés de \mathbb{R}^2 satisfaisant les 2 propriétés suivantes :

- (1) $D_n \subset D_{n+1}$ pour tout $n \in \mathbb{N}$.
- (2) Pour toute boule ouverte $B_r = B(O, r)$, il existe un $n_r \in \mathbb{N}$ avec $B_r \subset D_{n_r}$.
(Ceci implique que $\cup_{n \in \mathbb{N}} D_n = \mathbb{R}^2$.)

Posons alors

$$I_n = \iint_{D_n} f(x, y) \, dx dy.$$

- Si la limite $\lim_{n \rightarrow \infty} I_n = I$ existe, on définit

$$\iint_{\mathbb{R}^2} f(x, y) \, dx dy = \lim_{n \rightarrow \infty} \iint_{D_n} f(x, y) \, dx dy.$$

On peut montrer que cette définition est bonne dans le sens qu'elle ne dépend pas du choix des D_n .

- Si $\lim_{n \rightarrow \infty} \iint_{D_n} f(x, y) \, dx dy = +\infty$, on dit que l'intégrale $\iint_{\mathbb{R}^2} f(x, y) \, dx dy$ **diverge**.

Critère de comparaison : soient $0 \leq f(x, y) \leq g(x, y)$.

- (i) Si $\iint_{\mathbb{R}^2} g \, dA$ converge alors $\iint_{\mathbb{R}^2} f \, dA$ converge aussi ;
- (ii) Si $\iint_{\mathbb{R}^2} f \, dA$ diverge alors $\iint_{\mathbb{R}^2} g \, dA$ diverge aussi.

(B) Cas d'une fonction quelconque : si $f(x, y)$ est quelconque, on considère d'abord l'intégrale

$$\iint_{\mathbb{R}^2} |f(x, y)| \, dx dy.$$

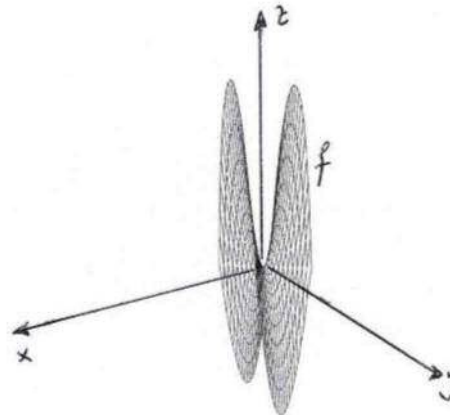
- (1) Si cette intégrale converge on dit que $\iint_{\mathbb{R}^2} f(x, y) \, dx dy$ est **absolument convergente**. Dans ce cas, on peut montrer que la limite

$$\lim_{n \rightarrow \infty} \iint_{D_n} f(x, y) \, dx dy$$

existe et est indépendante du choix des D_n .

- (2) Dans le cas où $\iint_{\mathbb{R}^2} |f(x, y)| \, dx dy$ n'est pas convergente, on ne peut pas définir $\iint_{\mathbb{R}^2} f(x, y) \, dx dy$ comme précédemment car cette limite dépend du choix des D_n .

Exemple : $f(x, y) = x^2 - y^2$.



Soit D_n le carré de centre $(0, 0)$ et de côté $2n$. Alors

$$\iint_{D_n} f(x, y) \, dx \, dy = \int_{-n}^n \int_{-n}^n (x^2 - y^2) \, dx \, dy = \int_{-n}^n \left(\frac{2}{3}n^3 - 2y^2n \right) dy = \frac{4}{3}n^4 - \frac{4}{3}n^4 = 0$$

et donc $\lim_{n \rightarrow \infty} \iint_{D_n} f(x, y) \, dA = 0$.

Soit $D'_n = \{(x, y) \mid -2n < x < 2n, n < y < n\}$ le rectangle de centre $(0, 0)$ et de côtés $2n$ et n . Alors

$$\begin{aligned} \iint_{D'_n} f(x, y) \, dx \, dy &= \int_{-2n}^{2n} \int_{-n}^n (x^2 - y^2) \, dy \, dx = \int_{-2n}^{2n} \left[x^2 y - \frac{y^3}{3} \right]_{y=-n}^{y=n} dx \\ &= \int_{-2n}^{2n} \left(2x^2n - \frac{2}{3}n^3 \right) dx = \left[\frac{2}{3}nx^3 - \frac{2}{3}n^3x \right]_{-2n}^{2n} \\ &= \frac{32}{3}n^4 - \frac{8}{3}n^4 = 8n^4. \end{aligned}$$

On a alors $\lim_{n \rightarrow \infty} \iint_{D'_n} f(x, y) \, dA = +\infty$.

8.1.6 Changement de variables

Soit D un domaine défini dans le plan Oxy . Considérons un changement de variables $h : \mathbb{R}^2 \rightarrow \mathbb{R}^2$ défini par

$$h(u, v) = \begin{pmatrix} x \\ y \end{pmatrix} = \begin{pmatrix} x(u, v) \\ y(u, v) \end{pmatrix}$$

Alors

$$\nabla h(u, v) = \begin{pmatrix} x_u(u, v) & x_v(u, v) \\ y_u(u, v) & y_v(u, v) \end{pmatrix}.$$

Le domaine D se transforme en un domaine \tilde{D} dans le plan Ouv .

Considérons un petit rectangle situé dans \tilde{D} et limité par les points

$$P(u, v), \quad Q(u + \Delta u, v), \quad R(u + \Delta u, v + \Delta v) \quad \text{et} \quad S(u, v + \Delta v).$$

Son aire est égale à $\Delta u \Delta v$. Calculons la surface ΔA correspondante dans D . Approximation du 1er ordre autour du point $P(u, v)$

$$\begin{aligned} h(u + \Delta u, v) &= h(u, v) + \nabla h(u, v) \cdot \begin{pmatrix} \Delta u \\ 0 \end{pmatrix} + o(\Delta u) \\ &\approx h(u, v) + \begin{pmatrix} x_u(u, v) \cdot \Delta u \\ y_u(u, v) \cdot \Delta u \end{pmatrix}. \end{aligned}$$

De même

$$\begin{aligned} h(u, v + \Delta v) &= h(u, v) + \nabla h(u, v) \cdot \begin{pmatrix} 0 \\ \Delta v \end{pmatrix} + o(\Delta v) \\ &\approx h(u, v) + \begin{pmatrix} x_v(u, v) \cdot \Delta v \\ y_v(u, v) \cdot \Delta v \end{pmatrix}. \end{aligned}$$

Alors

$$\vec{a} = h(u + \Delta u, v) - h(u, v) \approx \begin{pmatrix} x_u \cdot \Delta u \\ y_u \cdot \Delta u \end{pmatrix}.$$

et

$$\vec{b} = h(u, v + \Delta v) - h(u, v) \approx \begin{pmatrix} x_v \cdot \Delta v \\ y_v \cdot \Delta v \end{pmatrix}.$$

L'aire du parallélogramme construit sur \vec{a} et \vec{b} vaut $\|\vec{a} \times \vec{b}\|$. Si $\Delta u, \Delta v \rightarrow 0$ alors

$$\begin{aligned} dx dy = dA &= \left\| \begin{pmatrix} x_u du \\ y_u du \\ 0 \end{pmatrix} \times \begin{pmatrix} x_v dv \\ y_v dv \\ 0 \end{pmatrix} \right\| = \left\| \begin{pmatrix} 0 \\ 0 \\ x_u y_v - y_u x_v \end{pmatrix} \right\| dudv \\ &= |x_u y_v - x_v y_u| \cdot dudv = \left| \det \begin{pmatrix} x_u & x_v \\ y_u & y_v \end{pmatrix} \right| dudv = |\det \nabla h| dudv. \end{aligned}$$

Notation : le terme $|\det \nabla h| = \left| \det \begin{pmatrix} x_u & x_v \\ y_u & y_v \end{pmatrix} \right|$ est aussi noté $\left| \frac{\partial(x, y)}{\partial(u, v)} \right|$. C'est la valeur absolue du jacobien de h . On a ainsi démontré l'égalité

$$dx dy = \left| \frac{\partial(x, y)}{\partial(u, v)} \right| dudv.$$

Lors d'un changement de variables donné par $h(u, v) = (x, y)$, il faut donc remplacer

- $dx dy$ par $\left| \frac{\partial(x, y)}{\partial(u, v)} \right| dudv$
- D par \tilde{D}
- $f(x, y)$ par $\tilde{f}(u, v) = f(x(u, v), y(u, v))$.

Ainsi

$$\iint_D f(x, y) dx dy = \iint_{\tilde{D}} \tilde{f}(u, v) \cdot \left| \frac{\partial(x, y)}{\partial(u, v)} \right| dudv.$$

Exemple 8.5. Soit $D = \{(x, y) \mid x > 0, y > 0, 1 \leq xy \leq 4, 1 \leq x^2 - y^2 \leq 3\}$.

Calculons

$$J = \iint_D (x^2 + y^2) dx dy.$$

On pose $\begin{cases} u = x^2 - y^2 \\ v = 2xy. \end{cases}$

• D devient $\tilde{D} = \{1 \leq u \leq 3, 2 \leq v \leq 8\} = [1; 3] \times [2; 8]$ (c'est un rectangle).

• $\left| \frac{\partial(u, v)}{\partial(x, y)} \right| = \left| \begin{pmatrix} u_x & u_y \\ v_x & v_y \end{pmatrix} \right| = \left| \begin{pmatrix} 2x & -2y \\ 2y & 2x \end{pmatrix} \right| = 4(x^2 + y^2)$. Donc

$$dudv = 4(x^2 + y^2) dx dy.$$

L'intégrale devient

$$J = \iint_D (x^2 + y^2) dx dy = \iint_{\tilde{D}} \frac{1}{4} dudv = \frac{1}{4} \int_1^3 du \cdot \int_2^8 dv = \frac{1}{4} \cdot 2 \cdot 6 = 3.$$

8.1.7 Application : coordonnées polaires

si $\begin{cases} x = \rho \cos \varphi \\ y = \rho \sin \varphi \end{cases}$ alors

$$\nabla h = \begin{pmatrix} x_\rho & x_\varphi \\ y_\rho & y_\varphi \end{pmatrix} = \begin{pmatrix} \cos \varphi & -\rho \sin \varphi \\ \sin \varphi & \rho \cos \varphi \end{pmatrix}$$

et $\det(\nabla h) = \rho$. On a donc

$$dx dy = \rho d\rho d\varphi$$

Exemple : Soit D le demi-disque supérieur de centre $(1, 0)$ et de rayon 1 et $f(x, y) = y$.

On veut calculer

$$I = \iint_D f(x, y) dx dy.$$

Coordonnées polaires :

- le domaine D devient $\rho \leq 2 \cos \varphi$;
- la fonction f devient $\tilde{f}(\rho, \varphi) = \rho \sin \varphi$.

L'intégrale devient donc

$$\begin{aligned} I &= \iint_D f(x, y) dx dy = \int_{\varphi=0}^{\pi/2} \int_{\rho=0}^{2 \cos \varphi} \rho \sin \varphi \rho d\rho d\varphi = \int_{\varphi=0}^{\pi/2} \int_{\rho=0}^{2 \cos \varphi} \rho^2 \sin \varphi d\rho d\varphi \\ &= \int_{\varphi=0}^{\pi/2} \sin(\varphi) \cdot \frac{1}{3} \rho^3 \Big|_{\rho=0}^{\rho=2 \cos \varphi} d\varphi = \int_{\varphi=0}^{\pi/2} \frac{8}{3} \sin(\varphi) \cdot \cos^3(\varphi) d\varphi = -\frac{2}{3} \cos^4 \varphi \Big|_0^{\pi/2} = \frac{2}{3}. \end{aligned}$$

Intégration sur \mathbb{R}^2

En coordonnées polaires, l'intégrale sur tout \mathbb{R}^2 devient

$$\iint_{\mathbb{R}^2} f(x, y) \, dx dy = \lim_{R \rightarrow \infty} \int_{\rho=0}^R \int_{\varphi=0}^{2\pi} \tilde{f}(\rho, \varphi) \rho \, d\varphi d\rho = \int_0^\infty \int_0^{2\pi} \tilde{f}(\rho, \varphi) \rho \, d\varphi d\rho$$

Application : calcul de l'intégrale d'erreur

On veut calculer $I = \int_{-\infty}^{\infty} e^{-x^2} \, dx$.

Problème : e^{-x^2} ne possède pas de primitive analytique.

Solution : on calcule $I^2!!!$

$$\begin{aligned} I \cdot I &= \int_{-\infty}^{\infty} e^{-x^2} \, dx \cdot \int_{-\infty}^{\infty} e^{-y^2} \, dy = \int_{-\infty}^{\infty} \int_{-\infty}^{\infty} e^{-x^2} \cdot e^{-y^2} \, dx dy \\ &= \iint_{\mathbb{R}^2} e^{-x^2-y^2} \, dx dy \quad \left| \begin{array}{l} \text{coordonnées polaires} \end{array} \right. \\ &= \iint_{\mathbb{R}^2} e^{-\rho^2} \rho \, d\rho d\varphi = \int_0^{2\pi} \int_0^\infty \rho e^{-\rho^2} \, d\rho d\varphi = 2\pi \cdot \left[-\frac{e^{-\rho^2}}{2} \right]_0^\infty = 2\pi \cdot \frac{1}{2} = \pi. \end{aligned}$$

Donc

$$I = \int_{-\infty}^{\infty} e^{-x^2} \, dx = \sqrt{\pi}.$$

Conséquence : soit $p > 0$ et $q \in \mathbb{R}$. Alors

$$\int_{-\infty}^{\infty} e^{-px^2+qx} \, dx = \int_{-\infty}^{\infty} e^{-(\sqrt{p}x - \frac{q}{2\sqrt{p}})^2 + \frac{q^2}{4p}} \, dx = e^{\frac{q^2}{4p}} \int_{-\infty}^{\infty} e^{-t^2} \frac{1}{\sqrt{p}} \, dt = \sqrt{\frac{\pi}{p}} e^{\frac{q^2}{4p}}.$$

En particulier, si $p = \pi$ et $q = 0$ on trouve une intégrale valant 1.

$f(x) = e^{-\pi x^2}$ est donc une densité de probabilité (appelée gaussienne).

8.2 Intégrales triples**8.2.1 Définition**

La définition et les propriétés de l'intégrale triple sont analogues à celles de l'intégrale double. On note

$$\iiint_D f(x, y, z) \, dV = \iiint_D f(x, y, z) \, dx dy dz$$

l'intégrale de f sur le domaine $D \subset \mathbb{R}^3$ borné.

Si $f(x, y, z) \equiv 1$, on a en particulier

$$\iiint_D 1 \, dx dy dz = \text{Vol}(D).$$

8.2.2 Calcul effectif

Soit \tilde{D} la projection orthogonale de D sur le plan Oxy . Alors

$$\begin{aligned} \iiint_D f(x, y, z) dV &= \iint_{\tilde{D}} \left(\int_{z=\sigma^-(x,y)}^{\sigma^+(x,y)} f(x, y, z) dz \right) dx dy \\ &= \int_{x=a}^b \int_{y=\phi(x)}^{\psi(x)} \int_{z=\sigma^-(x,y)}^{\sigma^+(x,y)} f(x, y, z) dz dy dx. \end{aligned}$$

Exemple 8.6.

- D = tétraèdre de sommets $A(1; 0; 0)$, $B(0; 2; 0)$, $C(0; 0; 4)$ et $O(0; 0; 0)$.
- $f(x, y, z) = x$.

\tilde{D} = triangle ABO

Equation de la droite AB : $y = -2x + 2$

Equation du plan ABC : $z = -4x - 2y + 4$.

Alors

$$\begin{aligned} \iiint_D x dV &= \iint_{\tilde{D}} \left(\int_{z=0}^{z=-4x-2y+4} x dz \right) dx dy = \int_0^1 \int_0^{-2x+2} \int_0^{-4x-2y+4} x dz dy dx \\ &= \int_0^1 \int_0^{-2x+2} [xz]_0^{z=-4x-2y+4} dy dx = \int_0^1 dx \int_0^{-2x+2} (-4x^2 - 2xy + 4x) dy \\ &= \int_0^1 [(-4x^2 + 4x)y - xy^2]_0^{-2x+2} dx = \dots = \int_0^1 (4x^3 - 8x^2 + 4x) dx \\ &= \left[x^4 - \frac{8}{3}x^3 + 2x^2 \right]_{y=0}^{y=1} = \frac{1}{3}. \end{aligned}$$

8.2.3 Changement de variables

Soit $h : \mathbb{R}^3 \rightarrow \mathbb{R}^3$ un changement de variables donné par

$$\begin{cases} x = x(u, v, w) \\ y = y(u, v, w) \\ z = z(u, v, w) \end{cases}$$

On note $\left| \frac{\partial(x, y, z)}{\partial(u, v, w)} \right| := \begin{vmatrix} x_u & x_v & x_w \\ y_u & y_v & y_w \\ z_u & z_v & z_w \end{vmatrix}$. Alors on a l'égalité

$$dx dy dz = \left| \frac{\partial(x, y, z)}{\partial(u, v, w)} \right| du dv dw$$

Coordonnées cylindriques

Si $h(\rho, \varphi, z) = (x, y, z)$ est définie par

$$\begin{cases} x = \rho \cos \varphi \\ y = \rho \sin \varphi \\ z = z \end{cases} \quad \rho > 0, \quad \varphi \in [0; 2\pi], \quad z \in \mathbb{R}$$

alors

$$\nabla h = \begin{pmatrix} x_\rho & x_\varphi & x_z \\ y_\rho & y_\varphi & y_z \\ z_\rho & z_\varphi & z_z \end{pmatrix} = \begin{pmatrix} \cos \varphi & -\rho \sin \varphi & 0 \\ \sin \varphi & \rho \cos \varphi & 0 \\ 0 & 0 & 1 \end{pmatrix}$$

et $|\det \nabla h| = \rho$. Ceci donne la transformation

$$dx dy dz = \rho d\rho d\varphi dz$$

Coordonnées sphériques

Si $h(r, \varphi, \theta) = (x, y, z)$ est définie par

$$\begin{cases} x = r \cos \varphi \sin \theta \\ y = r \sin \varphi \sin \theta \\ z = r \cos \theta \end{cases} \quad r > 0, \quad \theta \in [0; \pi], \quad \varphi \in [0; 2\pi]$$

alors ∇h est donné au paragraphe §7.5 et l'on a trouvé

$$\det \nabla h = r^2 \sin \theta.$$

Noter que $r^2 \sin \theta > 0$ pour $r \neq 0$ et $\theta \in]0; \pi[$.

Ceci donne la transformation

$$dx dy dz = r^2 \sin(\theta) dr d\varphi d\theta$$

Exemple : soit D la sphère de centre O et de rayon R . Alors

$$\begin{aligned} \text{Vol}(D) &= \iiint_D 1 \cdot dx dy dz = \iiint_D 1 \cdot r^2 \sin(\theta) dr d\varphi d\theta = \int_{r=0}^R \int_{\varphi=0}^{2\pi} \int_{\theta=0}^{\pi} r^2 \sin(\theta) d\theta d\varphi dr \\ &= \underbrace{\int_0^{2\pi} d\varphi}_{=2\pi} \cdot \underbrace{\int_0^{\pi} \sin(\theta) d\theta}_{=2} \cdot \underbrace{\int_0^R r^2 dr}_{=\frac{1}{3}R^3} = \frac{4}{3}\pi R^3. \end{aligned}$$

Application : calcul de masse

Soit D un corps dont la masse volumique est $\mu(x, y, z)$. La masse d'un petit parallélépipède rectangle est

$$\Delta m_k \approx \mu(x_k, y_k, z_k) \cdot \Delta x_k \Delta y_k \Delta z_k.$$

En intégrant, on trouve la masse totale du corps

$$M = \iiint_D \mu(x, y, z) \, dx dy dz.$$

Application : calcul du centre de gravité

Comme pour la dimension 2, le **centre de gravité** est donné par la formule :

$$\vec{OG} = \frac{1}{M} \iiint_D \mu(x, y, z) \cdot \vec{OP} \cdot dx dy dz \quad (*)$$

où $\mu(x, y, z)$ est la masse volumique et M la masse totale du corps.
En composantes, l'équation (*) s'écrit

$$\begin{pmatrix} x_G \\ y_G \\ z_G \end{pmatrix} = \frac{1}{M} \iiint_D \mu(x, y, z) \begin{pmatrix} x \\ y \\ z \end{pmatrix} dx dy dz$$

Exemple 8.7. Centre de gravité de l'hémisphère nord homogène ($\mu \equiv 1$).

$$D = \left\{ (x, y, z) \mid x^2 + y^2 + z^2 \leq R^2, z \geq 0 \right\}$$

Par symétrie, $x_G = y_G = 0$.

$$\text{De plus } M = \frac{1}{2} \cdot \frac{4}{3} \pi R^3 = \frac{2}{3} \pi R^3.$$

$$\begin{aligned} z_G &= \frac{1}{M} \iiint_D z \, dx dy dz \\ &= \frac{3}{2 \cdot \pi R^3} \iiint_D r \cos(\theta) \cdot r^2 \sin(\theta) \, dr d\varphi d\theta \\ &= \frac{3}{2\pi R^3} \int_0^R r^3 \, dr \cdot \int_0^{\frac{\pi}{2}} \sin(\theta) \cos(\theta) \, d\theta \cdot \int_0^{2\pi} d\varphi = \frac{3}{2\pi R^3} \cdot \frac{\pi R^4}{4} \\ &= 3 \frac{R}{8}. \end{aligned}$$

Application : moment (polaire) d'inertie

Rappel : $J = mr^2$ où m est la masse et r la distance entre le corps et l'axe de rotation

Corps de domaine D et de masse volumique $\mu(x, y, z)$.

Axe vertical passant par l'origine. Alors

$$\begin{aligned} J_z &= \iiint_D (x^2 + y^2) \mu(x, y, z) \, dx dy dz && \left| \text{coordonnées cylindriques} \right. \\ &= \iiint_{\bar{D}} \rho^2 \bar{\mu}(\rho, \varphi, z) \rho \, d\rho d\varphi dz = \iiint_{\bar{D}} \rho^3 \bar{\mu}(\rho, \varphi, z) \, d\rho d\varphi dz \end{aligned}$$

Exemple : cylindre homogène de base un cercle de centre $(0, 1)$ de rayon 1 et de hauteur 1

Equations en coordonnées cylindriques :
$$\begin{cases} 0 \leq \varphi \leq \pi \\ \rho \leq 2 \sin \varphi \\ 0 \leq z \leq h \end{cases}$$

$$\begin{aligned} J_z &= \iiint_{\bar{D}} \rho^3 \cdot 1 \cdot d\rho d\varphi dz = \int_0^h \int_0^\pi \int_0^{2 \sin \varphi} \rho^3 \, d\rho d\varphi dz \\ &= h \cdot \int_0^\pi \left[\frac{1}{4} \rho^4 \right]_0^{2 \sin \varphi} d\varphi \\ &= 4h \underbrace{\int_0^\pi \sin^4 \varphi \, d\varphi}_{= \dots = \frac{3\pi}{8}} = \frac{3}{2} \pi h. \end{aligned}$$

8.3 Intégrales de surfaces

8.3.1 Représentation paramétrique d'une surface

Nous traiterons ici uniquement le cas des surfaces dans \mathbb{R}^3 .

Définition 8.8. Une **surface** est l'image d'un domaine $D \subset \mathbb{R}^2$ par une application continue $\Gamma : D \rightarrow \mathbb{R}^3$:

$$\begin{cases} x = x(u, v) \\ y = y(u, v) \\ z = z(u, v) \end{cases}$$

$(u, v) \in D$ sont les **paramètres**.

Remarque 8.9.

- Si l'on peut trouver une fonction $f(x, y)$ telle que $z = f(x, y)$, alors la surface est le graphe de f .
- Si l'on peut éliminer les paramètres u et v on obtient l'équation cartésienne de la surface $\Gamma : F(x, y, z) = 0$.

Exemples 8.10.

1. L'équation $x^2 + y^2 = 4$ est l'équation cartésienne d'un cylindre de révolution vertical d'axe Oz et de rayon 2. Une paramétrisation est

$$\begin{cases} x = 2 \cos u \\ y = 2 \sin u \\ z = v \end{cases} \quad 0 \leq u \leq 2\pi, \quad v \in \mathbb{R}$$

ATTENTION : 1 équation dans \mathbb{R}^3 donne toujours une surface même si une variable n'apparaît pas.

2. Surface hélicoïdale H :

$$\begin{cases} x = u \cos v \\ y = u \sin v \\ z = c \cdot v \end{cases} \quad u, v \in \mathbb{R}$$

Si l'on fixe un paramètre $u = R$ on obtient la courbe γ située sur H

$$\begin{cases} x = R \cos v \\ y = R \sin v \\ z = c \cdot v \end{cases}$$

qui ne dépend plus que d'un paramètre v . C'est une hélice.

Plus généralement, si l'on fixe un des 2 paramètres d'une surface, on obtient une courbe situé sur la surface.

3. Sphère de centre O et de rayon R :

$$\begin{cases} x = R \cos \varphi \sin \theta \\ y = R \sin \varphi \sin \theta \\ z = R \cos \theta \end{cases} \quad \varphi \in [0, 2\pi], \quad \theta \in [0, \pi]$$

- En fixant $\theta = \theta_0$, on a

$$z = z_0 = R \cos \theta_0 = \text{cste}$$

et on obtient un cercle dans le plan horizontal $z = z_0$: c'est un **parallèle**. Si $\theta_0 = \frac{\pi}{2}$, c'est l'équateur.

- Si l'on fixe $\varphi = \varphi_0$, on obtient un cercle dans le plan vertical d'équation $\sin(\varphi_0) \cdot x - \cos(\varphi_0) \cdot y = 0$: c'est un **méridien**.

8.3.2 Calcul de l'aire d'une surface

Soit $D \subset \mathbb{R}^2$ et $\Gamma : D \rightarrow \mathbb{R}^3$ une surface définie par

$$\Gamma(u, v) = \begin{pmatrix} x(u, v) \\ y(u, v) \\ z(u, v) \end{pmatrix}$$

En reprenant le calcul effectué pour le changement de variables (cf. §8.1.6), on obtient

$\vec{a} \approx \Gamma_u du$ et $\vec{b} \approx \Gamma_v dv$ avec

$$\Gamma_u = \begin{pmatrix} x_u \\ y_u \\ z_u \end{pmatrix} \quad \text{et} \quad \Gamma_v = \begin{pmatrix} x_v \\ y_v \\ z_v \end{pmatrix}.$$

Alors

$$dS = \|\Gamma_u \times \Gamma_v\| du dv$$

et l'aire de la surface vaut

$$A_S = \iint_{(u,v) \in D} \|\Gamma_u \times \Gamma_v\| du dv$$

Relation importante :

$$\|\Gamma_u \times \Gamma_v\|^2 = \|\Gamma_u\|^2 \cdot \|\Gamma_v\|^2 \sin^2 \alpha = \|\Gamma_u\|^2 \cdot \|\Gamma_v\|^2 (1 - \cos^2 \alpha) = \|\Gamma_u\|^2 \cdot \|\Gamma_v\|^2 - (\Gamma_u \bullet \Gamma_v)^2$$

Exemple 8.11. Aire d'une zone sphérique :

$$\Gamma : \begin{cases} x = R \cos \varphi \sin \theta \\ y = R \sin \varphi \sin \theta \\ z = R \cos \theta \end{cases} \quad \varphi \in [0, 2\pi], \quad \theta \in [\theta_1, \theta_2]$$

On a

$$\Gamma_\varphi = \begin{pmatrix} x_\varphi \\ y_\varphi \\ z_\varphi \end{pmatrix} = \begin{pmatrix} -R \sin \varphi \sin \theta \\ R \cos \varphi \sin \theta \\ 0 \end{pmatrix} \quad \text{et} \quad \Gamma_\theta = \begin{pmatrix} x_\theta \\ y_\theta \\ z_\theta \end{pmatrix} = \begin{pmatrix} R \cos \varphi \cos \theta \\ R \sin \varphi \cos \theta \\ -R \sin \theta \end{pmatrix}$$

ce qui donne

$$\Gamma_\varphi \times \Gamma_\theta = \begin{pmatrix} -R^2 \cos \varphi \sin^2 \theta \\ -R^2 \sin \varphi \sin^2 \theta \\ -R^2 \sin \theta \cos \theta \end{pmatrix}$$

et donc $\|\Gamma_\varphi \times \Gamma_\theta\| = R^2 \sin \theta$. Alors

$$dS = R^2 \sin \theta \, d\varphi \, d\theta$$

L'aire d'une "bande sphérique" comprise entre θ_1 et θ_2 est donc

$$S = \int_0^{2\pi} \int_{\theta_1}^{\theta_2} R^2 \sin(\theta) \, d\theta \, d\varphi = 2\pi \cdot R^2 \cdot \int_{\theta_1}^{\theta_2} \sin \theta \, d\theta = 2\pi R^2 (\cos \theta_1 - \cos \theta_2) = 2\pi R \cdot h$$

où $h = R \cos \theta_1 - R \cos \theta_2 =$ hauteur de la bande.

On retrouve : aire de la sphère = $4\pi R^2$.

8.3.3 Cas explicite $z = f(x, y)$

Si la surface est le graphe d'une fonction $z = f(x, y)$ alors une paramétrisation évidente est

$$\begin{cases} x = u \\ y = v \\ z = f(u, v) \end{cases}$$

Donc $\Gamma_u = \begin{pmatrix} 1 \\ 0 \\ f_u \end{pmatrix}$ et $\Gamma_v = \begin{pmatrix} 0 \\ 1 \\ f_v \end{pmatrix}$ ce qui donne

$$\|\Gamma_u \times \Gamma_v\| = \left\| \begin{pmatrix} -f_u \\ -f_v \\ 1 \end{pmatrix} \right\| = \sqrt{f_u^2 + f_v^2 + 1}$$

L'aire de la surface vaut donc

$$A_S = \iint_{(x,y) \in D} \sqrt{1 + f_x^2 + f_y^2} \, dx dy = \iint_{(x,y) \in D} \sqrt{1 + (\nabla f)^2} \, dx dy$$

où $(\nabla f)^2 = \nabla f \bullet \nabla f = \nabla f \cdot \nabla^T f$.

Rappel : longueur d'une courbe. $L = \int_{x \in I} \sqrt{1 + f'(x)^2} \, dx$

Exemple 8.12.

Calculer l'aire de la surface $z = f(x, y) = xy$ située à l'intérieur du cylindre $(\Gamma) : x^2 + y^2 = 1$.

$$\begin{cases} f_x = y \\ f_y = x \end{cases} \implies dS = \sqrt{1 + f_x^2 + f_y^2} \, dx dy = \sqrt{1 + y^2 + x^2} \, dx dy$$

Donc

$$\begin{aligned} S &= \iint_{x^2 + y^2 \leq 1} \sqrt{1 + x^2 + y^2} \, dx dy = \iint_{\substack{(\rho, \varphi) \\ \rho \leq 1}} \sqrt{1 + \rho^2} \, \rho \, d\rho \, d\varphi \\ &= \int_0^{2\pi} d\varphi \int_0^1 \rho(1 + \rho^2)^{\frac{1}{2}} \, d\rho = 2\pi \frac{1}{3} (1 + \rho^2)^{3/2} \Big|_0^1 = \frac{2\pi}{3} (2\sqrt{2} - 1). \end{aligned}$$

Application

Surface $\Gamma(u, v)$, $(u, v) \in D$ de masse surfacique $\mu(x, y, z)$. Alors sa masse est $M = \iint_D \mu \, dS$.

8.4 Intégrales dépendant d'un paramètre

Considérons une fonction $f(x, t)$ à 2 variables. Supposons que $f(x, t)$ et $f_t(x, t) = \frac{\partial f}{\partial t}(x, t)$ sont continues sur un rectangle $D = \{(x, t) \mid x_1 \leq x \leq x_2, t_1 \leq t \leq t_2\}$.

Posons

$$F(t) = \int_{x_1}^{x_2} f(x, t) \, dx.$$

Alors

Théorème 8.13 (Théorème 1). $F(t)$ est dérivable (même de classe C^1) et

$$F'(t) = \int_{x_1}^{x_2} f_t(x, t) dx.$$

On peut passer la dérivée à l'intérieur de l'intégrale.

On généralise ce résultat au cas où les bornes dépendent de t .

Théorème 8.14 (Théorème 2). Soit

$$F(t) = \int_{x_1(t)}^{x_2(t)} f(x, t) dx.$$

Supposons que $f(x, t)$ et $f_t(x, t)$ sont continues en x et t et que $x_1(t)$ et $x_2(t)$ sont dérivables. Alors

$$F'(t) = f(x_2(t), t) \cdot x_2'(t) - f(x_1(t), t) \cdot x_1'(t) + \int_{x_1(t)}^{x_2(t)} f_t(x, t) dx$$

Les théorèmes 1 et 2 se généralisent pour les fonctions à plus de 2 variables et pour les intégrales doubles ou triples.

Ces 2 théorèmes restent valables pour les intégrales impropres

$$\int_I f(x, t) dx$$

(avec $I =]a; +\infty[$ et/ou $\lim_{x \rightarrow a^+} f(x, t) = \pm\infty$)

si l'on rajoute ces 2 hypothèses :

- (I) il existe une fonction $g(x) \geq 0$ définie sur I avec $|f(x, t)| \leq g(x)$ pour tout $t \in [t_1; t_2]$ et $\int_I g(x) dx < +\infty$;
- (II) il existe une fonction $\psi(x) \geq 0$ définie sur I avec $|f_t(x, t)| \leq \psi(x)$ pour tout $t \in [t_1; t_2]$ et $\int_I \psi(x) dx < +\infty$.

Applications

1. Calcul de $I_\alpha(t) = \int_0^\infty \underbrace{e^{-\alpha x} \cdot \frac{\sin(tx)}{x}}_{=f(x,t)} dx \quad (\alpha > 0)$.

Remarquons d'abord que $I_\alpha(0) = 0$.

Intégrale impropre en $+\infty$ mais pas en $x = 0$ car $\lim_{x \rightarrow 0} f(x, t) = 1 \cdot \lim_{x \rightarrow 0} \frac{\sin(tx)}{x} = t$.

On a

$$f_t(x, t) = e^{-\alpha x} \cdot \frac{1}{x} \cdot \cos(tx) \cdot x = e^{-\alpha x} \cos(tx).$$

Vérifions les hypothèses (I) et (II) :

(I) $|f(x, t)| \leq \frac{e^{-\alpha x}}{x}$ dont l'intégrale sur $[1; +\infty[$ converge ;

(II) $|f_t(x, t)| \leq e^{-\alpha x}$ et $\int_1^\infty e^{-\alpha x} dx$ converge.

Le théorème 1 donne alors

$$\begin{aligned} I'_\alpha(t) &= \int_0^\infty f_t(x, t) dx \\ &= \int_0^\infty e^{-\alpha x} \cos(tx) dx \stackrel{I.P.P.}{=} \frac{1}{\alpha^2 + t^2} (t \sin tx - \alpha \cos tx) e^{-\alpha x} \Big|_0^\infty = \frac{\alpha}{\alpha^2 + t^2}. \end{aligned}$$

En intégrant, on obtient

$$I_\alpha(t) = \int \frac{\alpha}{\alpha^2 + t^2} dt + C = \arctan\left(\frac{t}{\alpha}\right) + C.$$

Comme $I_\alpha(0) = 0$ on en déduit que $C = 0$ et donc finalement que

$$\boxed{\int_0^\infty e^{-\alpha x} \cdot \frac{\sin(tx)}{x} dx = I_\alpha(t) = \arctan\left(\frac{t}{\alpha}\right)}$$

2. Calcul de

$$J = \int_0^\infty e^{-x} \cdot x \cdot \sin x dx.$$

On pose

$$I(t) = \int_0^\infty \sin(x) \cdot e^{-tx} dx$$

pour $t \geq \epsilon > 0$.

Alors le théorème 1 (les hypothèses (I) et (II) sont remplies) donne

$$I'(t) = \int_0^\infty f_t(x, t) dx = \int_0^\infty \sin(x) \cdot e^{-tx} \cdot (-x) dx \implies J = -I'(1).$$

Mais une intégration par parties donne

$$I(t) = \int_0^\infty \sin(x) \cdot e^{-tx} dx = \left[-\frac{1}{1+t^2} (t \sin x + \cos x) e^{-tx} \right]_0^\infty = \frac{1}{1+t^2}.$$

Donc $I'(t) = -\frac{2t}{(1+t^2)^2}$. On en conclut que $J = -I'(1) = \frac{1}{2}$.

Intégrale d'Euler

Par définition on pose

$$\Gamma(x) = \int_0^\infty t^{x-1} e^{-t} dt$$

Ici, x est le paramètre et t la variable d'intégration.

Pour tout $x > 0$, l'intégrale converge.

Propriétés :

- $\Gamma(1) = \int_0^\infty e^{-t} dt = -e^{-t} \Big|_0^\infty = 1.$
- $\Gamma(x+1) = \int_0^\infty \underbrace{t^x}_f \cdot \underbrace{e^{-t}}_{g'} dt \stackrel{I.P.P.}{=} \underbrace{-t^x e^{-t}}_{=0} \Big|_0^\infty + \int_0^\infty x \cdot t^{x-1} e^{-t} dt = x\Gamma(x)$

En particulier, si $x = n \in \mathbb{N}$, alors

$$\Gamma(n+1) = n \cdot \Gamma(n) = n(n-1) \cdot \Gamma(n-1) = \dots = n! \cdot \Gamma(1) = n!$$

On peut donc dire que la fonction $\Gamma(x)$ étend la factorielle à tout \mathbb{R} .

- $\Gamma\left(\frac{1}{2}\right) = \int_0^\infty t^{-\frac{1}{2}} e^{-t} dt \stackrel{t=u^2}{=} \int_{u=0}^\infty u^{-1} e^{-u^2} 2u du = 2 \int_0^\infty e^{-u^2} du = \int_{-\infty}^\infty e^{-u^2} du = \sqrt{\pi}.$

8.5 Intégrales curvilignes

On ne traitera ici que le cas de courbes dans \mathbb{R}^3 mais les cas $n = 2$ ou $n > 3$ se déduisent aisément. On considère une courbe (dérivable)

$$\gamma : \gamma(t) = \begin{pmatrix} x(t) \\ y(t) \\ z(t) \end{pmatrix} \quad a \leq t \leq b$$

8.5.1 Intégration d'un champ scalaire

Soit $f(x, y, z)$ une fonction réelle définie sur \mathbb{R}^3 . On a envie de définir

$$\int_{\gamma} f \cdot ds.$$

Rappel :

$$ds = \sqrt{\dot{x}^2(t) + \dot{y}^2(t) + \dot{z}^2(t)} dt = \text{élément différentiel de longueur} = \|\dot{\gamma}(t)\| dt$$

On pose alors

$$\int_{\gamma} f \cdot ds := \int_a^b f(\gamma(t)) \cdot \|\dot{\gamma}(t)\| dt = \int_a^b f(x(t), y(t), z(t)) \cdot \sqrt{\dot{x}^2(t) + \dot{y}^2(t) + \dot{z}^2(t)} dt$$

Interprétation physique : si $f(x, y, z)$ est la masse par unité de longueur de la courbe γ , alors $\int_{\gamma} f \cdot ds$ est la masse totale de la courbe.

8.5.2 Intégration d'un champ vectoriel

Soit $\gamma(t) = \begin{pmatrix} x(t) \\ y(t) \\ z(t) \end{pmatrix}$ une courbe et $\vec{F}(x, y, z) = \begin{pmatrix} F_1(x, y, z) \\ F_2(x, y, z) \\ F_3(x, y, z) \end{pmatrix}$ un champ vectoriel. Nous définissons

$$\int_{\gamma} \vec{F} \bullet \vec{ds} = \int_a^b \vec{F}(\gamma(t)) \bullet \dot{\gamma}(t) dt$$

où \bullet désigne le produit scalaire.

Interprétation physique : si \vec{F} est un champ de force et γ la trajectoire d'un mobile, alors

$$\int_{\gamma} \vec{F} \bullet \vec{ds}$$

est le travail de F le long de γ .

Exemple : Soit le champ de force $F(x, y) = \begin{pmatrix} x^2 - y \\ y^2 + x \end{pmatrix}$.

Calculer le travail de F entre les points $P(0, 1)$ et $Q(1, 2)$

- le long de la droite d passant par P et Q ;
- le long de la parabole Γ d'équation $y = x^2 + 1$.

Solution :

(a) Paramétrisation de d : $\gamma(t) = \begin{pmatrix} t \\ t+1 \end{pmatrix}$ avec $0 \leq t \leq 1$.

Alors

$$\dot{\gamma}(t) = \begin{pmatrix} 1 \\ 1 \end{pmatrix}$$

et le champ de force sur γ vaut

$$F(\gamma(t)) = F(t, t+1) = \begin{pmatrix} t^2 - (t+1) \\ (t+1)^2 + t \end{pmatrix} = \begin{pmatrix} t^2 - t - 1 \\ t^2 + 3t + 1 \end{pmatrix}$$

et l'intégrale devient

$$\begin{aligned} \int_d F \bullet ds &= \int_0^1 F(\gamma(t)) \bullet \dot{\gamma}(t) dt = \int_0^1 \begin{pmatrix} t^2 - t - 1 \\ t^2 + 3t + 1 \end{pmatrix} \bullet \begin{pmatrix} 1 \\ 1 \end{pmatrix} dt \\ &= \int_0^1 (t^2 - t - 1 + t^2 + 3t + 1) dt = \left[\frac{2}{3}t^3 + t^2 \right]_0^1 = \frac{5}{3}. \end{aligned}$$

(b) Paramétrisation de la parabole Γ : $\gamma(t) = \begin{pmatrix} t \\ t^2 + 1 \end{pmatrix}$ avec $0 \leq t \leq 1$.

Alors

$$\dot{\gamma}(t) = \begin{pmatrix} 1 \\ 2t \end{pmatrix}$$

et

$$F(\gamma(t)) = F(t, t^2 + 1) = \begin{pmatrix} t^2 - (t^2 + 1) \\ (t^2 + 1)^2 + t \end{pmatrix} = \begin{pmatrix} -1 \\ t^4 + 2t^2 + t + 1 \end{pmatrix}$$

et l'intégrale devient

$$\begin{aligned} \int_\Gamma F \bullet ds &= \int_0^1 F(\gamma(t)) \bullet \dot{\gamma}(t) dt = \int_0^1 \begin{pmatrix} -1 \\ t^4 + 2t^2 + t + 1 \end{pmatrix} \bullet \begin{pmatrix} 1 \\ 2t \end{pmatrix} dt \\ &= \int_0^1 (2t^5 + 4t^3 + 2t^2 + 2t - 1) dt = \left[\frac{2}{6}t^6 + t^4 + \frac{2}{3}t^3 + t^2 - t \right]_0^1 = 2. \end{aligned}$$

On constate que le travail de F dépend du chemin parcouru. Ceci est vrai en général. Mais si F est le gradient d'une fonction, alors le travail est indépendant du chemin parcouru.

Théorème 8.15. Soit $V : \mathbb{R}^3 \rightarrow \mathbb{R}$ un champ scalaire de classe C^2 et

$$\vec{F} = \nabla V = \begin{pmatrix} V_x \\ V_y \\ V_z \end{pmatrix}$$

le gradient de V .

Soit $\gamma : I = [a, b] \rightarrow \mathbb{R}^3$ une courbe avec $\gamma(a) = P$ (point de départ) et $\gamma(b) = Q$ (point d'arrivée). Alors

$$\int_{\gamma} \vec{F} \cdot \vec{ds} = V(\gamma(b)) - V(\gamma(a)) = V|_Q - V|_P.$$

Le travail de F ne dépend pas du chemin parcouru mais uniquement du point de départ et du point d'arrivée.

En particulier, sur une courbe fermée ($P=Q$), on a $\oint_{\gamma} \nabla V \cdot \vec{ds} = 0$.

DÉMONSTRATION :

$$\begin{aligned} \int_{\gamma} \vec{F} \cdot \vec{ds} &= \int_a^b F(\gamma(t)) \cdot \dot{\gamma}(t) dt = \int_a^b \nabla V(\gamma(t)) \cdot \dot{\gamma}(t) dt = \left[V(\gamma(t)) \right]_a^b \\ &= V(\gamma(b)) - V(\gamma(a)). \end{aligned}$$

car la règle de composition donne $\frac{d}{dt} V(\gamma(t)) = \nabla V(\gamma(t)) \cdot \dot{\gamma}(t)$. □

Définition 8.16. Le champ scalaire V est appelé **potentiel** et on dit que \vec{F} est un **champ conservatif** lorsqu'il existe V avec $\vec{F} = \nabla V$ (et V de classe C^2).

Comment savoir si un champ vectoriel donné est conservatif ou non ?

Supposons que $F = \nabla V$ avec V de classe C^2 . Alors

$$\begin{pmatrix} F_1 \\ F_2 \\ F_3 \end{pmatrix} = \begin{pmatrix} V_x \\ V_y \\ V_z \end{pmatrix}$$

Comme V est de classe C^2 , on doit avoir $V_{yx} = V_{xy}$, $V_{zy} = V_{yz}$ et $V_{zx} = V_{xz}$ ce qui donne

$$\frac{\partial F_1}{\partial y} = \frac{\partial F_2}{\partial x}, \quad \frac{\partial F_2}{\partial z} = \frac{\partial F_3}{\partial y} \quad \text{et} \quad \frac{\partial F_1}{\partial z} = \frac{\partial F_3}{\partial x} \quad (CI)$$

C'est une condition nécessaire. Si F ne satisfait pas (CI), il ne peut pas être conservatif.

Le théorème suivant affirme, que sur certains domaines D , (CI) est aussi une condition suffisante :

D'abord une définition :

Définition 8.17 (Simplyment connexe). Un domaine $D \subset \mathbb{R}^3$ ($\subset \mathbb{R}^2$) est dit **simplement connexe**

- (1) si pour tout couple de points $P, Q \in D$ il existe une courbe (continue) contenue dans D et reliant P et Q ;
- (2) et si toute courbe fermée contenue dans D peut se contracter en un seul point sans sortir de D (il n'y a pas de "trous" dans D).

Théorème 8.18. Soit $D \subset \mathbb{R}^3$ un ouvert simplement connexe et $F : D \rightarrow \mathbb{R}^3$ un champ vectoriel tel que la condition (CI) soit satisfaite.

Alors il existe un potentiel $V : D \rightarrow \mathbb{R}$ telle que

$$\nabla V = F.$$

Remarque : le théorème est aussi vrai dans le plan : il suffit de remplacer la condition (CI) par

$$\frac{\partial F_1}{\partial y} = \frac{\partial F_2}{\partial x}.$$

DÉMONSTRATION :

On utilise les résultats sur les intégrales avec paramètres.

(i) On suppose d'abord que D est un parallélépipède rectangle (ou un rectangle si on est dans \mathbb{R}^2).

Choisissons un point $(x_0, y_0, z_0) \in D$ et pour tout $(x, y, z) \in D$, posons

$$V(x, y, z) = \int_{x_0}^x F_1(\xi, y_0, z_0) d\xi + \int_{y_0}^y F_2(x, \eta, z_0) d\eta + \int_{z_0}^z F_3(x, y, \zeta) d\zeta$$

Alors

$$\begin{aligned} V_x(x, y, z) &= \frac{\partial V}{\partial x}(x, y, z) = F_1(x, y_0, z_0) + \int_{y_0}^y \frac{\partial F_2}{\partial x}(x, \eta, z_0) d\eta + \int_{z_0}^z \frac{\partial F_3}{\partial x}(x, y, \zeta) d\zeta \\ &= F_1(x, y_0, z_0) + \int_{y_0}^y \frac{\partial F_1}{\partial \eta}(x, \eta, z_0) d\eta + \int_{z_0}^z \frac{\partial F_1}{\partial \zeta}(x, y, \zeta) d\zeta \\ &= F_1(x, y_0, z_0) + [F_1(x, \eta, z_0)]_{y_0}^y + [F_1(x, y, \zeta)]_{z_0}^z \\ &= F_1(x, y_0, z_0) + F_1(x, y, z_0) - F_1(x, y_0, z_0) + F_1(x, y, z) - F_1(x, y, z_0) \\ &= F_1(x, y, z) \end{aligned}$$

De même on calcule que $V_y(x, y, z) = F_2(x, y, z)$ et $V_z(x, y, z) = F_3(x, y, z)$ ce qui montre que

$$\nabla V = F.$$

(ii) Si D n'est pas un parallélépipède rectangle, on intègre de proche en proche.

□

Contre-exemple : l'hypothèse D simplement connexe est essentielle.
Considérons le champ vectoriel

$$F = \frac{1}{x^2 + y^2} \begin{pmatrix} -y \\ x \end{pmatrix}.$$

On a

$$\frac{\partial F_1}{\partial y} = \frac{y^2 - x^2}{(x^2 + y^2)^2} \quad \text{et} \quad \frac{\partial F_2}{\partial x} = \frac{y^2 - x^2}{(x^2 + y^2)^2} = \frac{\partial F_1}{\partial y}.$$

Mais F n'est pas continu en $(0, 0)$. Et donc le domaine D n'est pas simplement connexe.
Intégrons ce champ vectoriel le long d'un cercle centré à l'origine et de rayon 1 :

$$\gamma(t) = \begin{pmatrix} \cos t \\ \sin t \end{pmatrix} \quad 0 \leq t \leq 2\pi$$

$$\vec{ds} = \dot{\gamma}(t) dt = \begin{pmatrix} -\sin t \\ \cos t \end{pmatrix} dt$$

et

$$\int_{\gamma} F(\gamma(t)) \bullet \vec{ds} = \int_0^{2\pi} \frac{1}{\sin^2 + \cos^2 t} \begin{pmatrix} -\sin t \\ \cos t \end{pmatrix} \bullet \begin{pmatrix} -\sin t \\ \cos t \end{pmatrix} dt = \int_0^{2\pi} 1 dt = 2\pi.$$

Si le théorème s'appliquait, on devrait trouver 0.

En revanche, si on prend une courbe **fermée** γ **ne contenant pas le point** $(0, 0)$ alors on aura bien $\int_{\gamma} F \bullet \vec{ds} = 0$.